

Inženýrské geologické dokumentace

Objekt

J2

Souřadnice X : 1147074.61
Y : 605251.48
Nadmořská výška 295.64
Lokalita Čebín obchvat
Mapa 1:25.000 24-321

POPISNÁ DATA

Datum zahájení vrtání	31.3.2016
Datum ukončení vrtání	31.3.2016
Vrtná souprava	UGB
Vrtná technologie	jádrové nasucho
Jméno vrtmistra	Božhor

PODZEMNÍ VODA

Ustálená hladina	0.38 m
Datum zjištění	1.4.2016
1. naražená hladina	9.50 m

Poznámka

Měřitko	1 : 100
ID_OBJ	2
Projekt	G01016
Zpracoval	Mgr.P.Mazáč
Datum	10.5.2016
Příloha	

Inženýrskogeologická dokumentace

Inženýrskogeologická dokumentace										Objekt				
Popis polohy										J5				
KONZST										Souřadnice				
Ulehlost										X : 1147133.47				
GTYP										Y : 605381.90				
14688										Nadmořská výška				
736133										Lokalita				
TEZIT										Čebín obchvat				
NASYPY										Mapa 1:25.000				
PODLOZ										24-321				
SCHEIB										11				
PODISNÁ DATA														
Datum zahájení vrtání										31.3.2016				
Datum ukončení vrtání										31.3.2016				
Vrtná souprava										UGB				
Vrtná technologie										jádrové nasucho				
Jméno vrtmistra										L.Rozhon				
PODZEMNÍ VODA														
Ustálená hladina										4.30 m				
Datum zjištění										1.4.2016				
1. naražená hladina										8.00 m				
Poznámka														

Inženýrskogeologická dokumentace

Objekt

97

Souřadnice X : 1147166.04
Y : 605450.51
Nadmořská výška 289.13
Lokalita Čebín obchvat
Mapa 1:25.000 24-321

11

POPISNÁ DATA

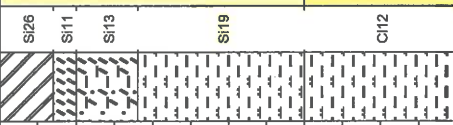

Vrtná technologie
jádrové nasucho

PODZEMNÍ VODA

**Hladina podzemní vody
dosud nespecifikována**

Poznámka

Měřitko	1 : 50
ID_OBJ	6
Projekt	G01016
Zpracoval	Mgr. P. Mazáč
Datum	10.5.2016
Příloha	

GEOSTAR spol. s r.o. Tuřanka 111, 627 00 Brno										Inženýrskogeologická dokumentace										Objekt J10 Souřadnice X : 1147318.43 Y : 605648.70 Nadmořská výška : 285.86 Lokalita : Čebín obchvat Mapa 1:25.000 24-321																																																																																																																																																																																																																																																																																																																																																																																																																																																																																																																																																																																																																																																																																																																																																																																																																																																																																																																																																																																																																																																																																																																																																																																																																																																																																																																																																																																																																																																																																																																																																																																																																																																																																																																																																																																																																																																																																																																																																																																																																																																																																																																																																																																																																																																																																																																																																																																																																																																																																																																																																																																																																																																																																																																																																																																																																																																																																																																																																																																																																																																																																																																																																																																																																																																																																																																																																																																																																																																																																																																																																																																																																																																																																																																																																																																																																																																																																																																																																																																																																																																																																																																																																																																																																																																																																																																																																																																																																																																																																																																																																																																																																																																																																																																																																																																																																																																																																																																																																																																																																																																																																																																																																																																																																																																																																																																																																																																																																																																																																																																																																																																																																																																																																																																																																																																																																																																																																																																																																																																																																																																																																																																																																																																																																																																																																																																																																																																																																																																							
Hlubka [m]										Geologický profil										Stratigrafie										Odběry vzorků										Popis polohy										KONZST										Ulehlost										14688										GTYP										14689										736133										TEZIT										NASYPY										PODLOZ										SCHEIB										11																																																																																																																																																																																																																																																																																																																																																																																																																																																																																																																																																																																																																																																																																																																																																																																																																																																																																																																																																																																																																																																																																																																																																																																																																																																																																																																																																																																																																																																																																																																																																																																																																																																																																																																																																																																																																																																																																																																																																																																																																																																																																																																																																																																																																																																																																																																																																																																																																																																																																																																																																																																																																																																																																																																																																																																																																																																																																																																																																																																																																																																																																																																																																																																																																																																																																																																																																																																																																																																																																																																																																																																																																																																																																																																																																																																																																																																																																																																																																																																																																																																																																																																																																																																																																																																																																																																																																																																																																																																																																																																																																																																																																																																																																																																																																																																																																																																																																																																																																																																																																																																																																																																																																																																																																																																																																																																																																																																																																																																																																																																																																																																																																																																																																																																																																																																																																																																																																																																																																																																																																																																																																																																																																																																																																																																																																																																					
1										2										3										4										5										6										7										8										9										10										11																																																																																																																																																																																																																																																																																																																																																																																																																																																																																																																																																																																																																																																																																																																																																																																																																																																																																																																																																																																																																																																																																																																																																																																																																																																																																																																																																																																																																																																																																																																																																																																																																																																																																																																																																																																																																																																																																																																																																																																																																																																																																																																																																																																																																																																																																																																																																																																																																																																																																																																																																																																																																																																																																																																																																																																																																																																																																																																																																																																																																																																																																																																																																																																																																																																																																																																																																																																																																																																																																																																																																																																																																																																																																																																																																																																																																																																																																																																																																																																																																																																																																																																																																																																																																																																																																																																																																																																																																																																																																																																																																																																																																																																																																																																																																																																																																																																																																																																																																																																																																																																																																																																																																																																																																																																																																																																																																																																																																																																																																																																																																																																																																																																																																																																																																																																																																																																																																																																																																																																																																																																																																																																																																																																																																																																																																																																																																																							
																				kvartér																				0.00-0.35 : ornice, hlína jílovitá, hnědá																				1.1																																																																																																																																																																																																																																																																																																																																																																																																																																																																																																																																																																																																																																																																																																																																																																																																																																																																																																																																																																																																																																																																																																																																																																																																																																																																																																																																																																																																																																																																																																																																																																																																																																																																																																																																																																																																																																																																																																																																																																																																																																																																																																																																																																																																																																																																																																																																																																																																																																																																																																																																																																																																																																																																																																																																																																																																																																																																																																																																																																																																																																																																																																																																																																																																																																																																																																																																																																																																																																																																																																																																																																																																																																																																																																																																																																																																																																																																																																																																																																																																																																																																																																																																																																																																																																																																																																																																																																																																																																																																																																																																																																																																																																																																																																																																																																																																																																																																																																																																																																																																																																																																																																																																																																																																																																																																																																																																																																																																																																																																																																																																																																																																																																																																																																																																																																																																																																																																																																																																																																																																																																																																																																																																																																																																																																																																																																																																																																																																															

Inženýrskogeologická dokumentace

Popis polohy										KONZST	Ulehlost	14688	GTP	14689	736133	TEZIT	NASYPY	PODLOZ	SCHEIB	Souřadnice X : 1147372.34 Y : 605732.93 Nadmořská výška 282.39 Lokalita Čebín obchvat Mapa 1:25.000 24-321			
5										6		7		8	9	10	11	POPISNÁ DATA					
0.00-0.40 : omice, jílovitá hlína tmavěhnědá												1.1			1					Datum zahájení vrtání Datum ukončení vrtání 16.2.2016 16.2.2016			
0.40-0.70 : podorniční, jílovitá hlína, hnědá až tmavěhnědá												siCl	1.2				podm. vřh.	nevřh.	VN-NN	Vrtná souprava Vrtná technologie UGB			
0.70-1.30 : sprař, žlutohnědá, vápnitá, šedě šmouhovaná, 80 kPa										tuhá		siCl	2.1				podm. vřh.	nevřh.	VN-NN	jádrově nasucho P.Daněk			
1.30-1.70 : jíli prachovitý, žlutohnědý s příměsí drobných zrn živců a migmatitů do 25%, vel. zrn až 8 mm, ojed. 2 cm.										tuh-pev		siCl	3.4				podm. vřh.	nevřh.	VN-NN	PODZEMNÍ VODA			
1.70-4.00 : jíli béřžově žlutohnědý a šedý, plastický, vápnitý, 200 - 220 kPa																			Hladina podzemní vody dosud nespecifikována				
										tuh-pev		Cl	4.2				nevřh.	nevřh.	VN	Poznámka			

Inženýrské geologická dokumentace

Objekt	
--------	--

J14

Souřadnice X : 1147443.42
Y : 605909.52
Nadmořská výška : 282.40
Lokalita Čebín obchvat
Mapa 1:25.000 24-321

11

POPISNÁ DATA

Datum zahájení vrtání	24.2.2016
Datum ukončení vrtání	

Vrtná souprava
Vrtná technologie

virtua technologie	jádrově nasucho P Friák
Jméno vrtmistra	

PODZEMNÍ VODA

Hladina podzemní vody
dosud nespecifikována

Poznámka

Měřtko	1 : 100
ID_OBJ	14
Projekt	G01016
Zpracoval	Mgr. P. Mazáč
Datum	10.5.2016
Příloha	

[illegible]

Inženýrské geologická dokumentace

Objekt

J15

Souřadnice X 1147455.27
Y 606016.57
Nadmořská výška 284.20
Lokalita Čebín obchvat
Mapa 1:25.000 24-321

11

POPISNÁ DATA

Datum zahájení vrtání	15.2.2016
Datum ukončení vrtání	

Vrtná souprava	Vrtná technologie	jádrové nasucho	15.2.2018	UGB	P. Daněk
Jméno vrtnístra					

PODZEMNÍ VODA

**Hladina podzemní vody
dosud nespecifikována**

Poznámka

Měřitko	1 : 50
ID_OBJ	15
Projekt	G01016
Zpracoval	Mgr. P. Mazáč
Datum	10.5.2016
Příloha	

Inženýrské geologické dokumentace

Objekt

HP16b

Souřadnice X : 1147465.20
Y : 606154.40
Nadmořská výška 290.10
Lokalita Čebín obchvat
Mapa 1:25.000 24-321

11

POPISNÁ DATA

Datum zahájení vrtání	20.4.2016
Datum ukončení vrtání	

Vrtná souprava
Vrtná technologie

Jméno vrtmistra	jádrově nasucho P.Friák
-----------------	----------------------------

PODZEMNÍ VODA

Ustálená hladina	4.37 m
Datum zjištění	20.4.2016
1. naražená hladina	4.90 m
2. naražená hladina	5.20 m

Poznámka

Měřtko	1 : 100
ID_OBJ	64
Projekt	G01016
Zpracoval	Mgr. P. Mazač
Datum	10.5.2016
Příloha	

Inženýrskogeologická dokumentace

Inženýrskogeologická dokumentace									
Objekt J17									
Souřadnice		X : 1147438.17 Y : 606284.16		Nadmořská výška 286.20		Lokalita Čebín obchvat		Mapa 1:25.000 24-321	
11									
POPISNÁ DATA									
Datum zahájení vrtání		18.3.2016							
Datum ukončení vrtání		18.3.2016							
Vrtná souprava		HVS							
Vrtná technologie		jádrově nasucho							
Jméno vrtmistra		P.Friák							
PODZEMNÍ VODA									
Hladina podzemní vody		dosud nespecifikována							
Poznámka									

Inženýrskogeologická dokumentace

Popis polohy														KONZST	Ulehlost	14688	GTYP	14689	736133	TEZIT	NASYPY	PODLOZ	SCHEIB	Souřadnice X : 1147336.77 Y : 606537.91 Nadmořská výška : 280.58 Lokalita : Čebín obchvat Mapa 1:25.000 24-321			
5														6		7		8	9	10	11	POPISNÁ DATA					
0.00-0.35 : ornice, hlína jílovitá, tmavěhnědá																1.1			1			Datum zahájení vrtání 15.2.2016 Datum ukončení vrtání 15.2.2016					
0.35-0.70 : podomítní, hlína jílovitá, hnědá														tuhá		siCl	1.2		F6	1	podm. vh.	nevh.	VN-NN	Vrtná souprava UGB Vrtná technologie jádrové nasucho P.Daněk			
0.70-0.90 : sprašová hlína, žlutohnědá, slabě váp., 140 - 180 kPa														tuhá		siCl	2.2		F6 Cl	1	podm. vh.	nevh.	VN-NN	Jméno vrtnístra			
0.90-2.00 : spraš žlutohnědá, váp. žilky, cívavy 2 cm														tuh-pev									PODZEMNÍ VODA				
2.00-3.00 : jíl prachovitý, hnědavý, černé šiliny, vápnitý, 80 - 90 kPa																							Hladina podzemní vody dosud nespecifikována				
														tuhá		Cl	3.5		F8	1	nevh.	nevh.	VN	Poznámka			

Inženýrskogeologická dokumentace

Inženýrskogeologická dokumentace														Objekt J20 Souřadnice X : 1147235.84 Y : 606533.84 Nadmořská výška : 273.38 Lokalita : Čebín obchvat Mapa 1:25.000 24-321									
Popis polohy														11									
KONZST														POPISNÁ DATA									
Ulehlost														Vrtná technologie : jádrové nasucho									
14688														GTYP									
14689														736133									
TEZIT														NASYPY									
PODLOZ														SCHEIB									
7														8									
9														10									
1														2									
1														1									
G5														1									
G5 GC														1									
F6														1									
F8														1									
F8														1									
F8														1									
F8														1									
F8														1									
F8														1									
F8														1									
F8														1									
F8														1									
F8														1									
F8														1									
F8														1									
F8														1									
F8														1									
F8														1									
F8														1									
F8														1									
F8														1									
F8														1									
F8														1									
F8														1									
F8														1									
F8														1									
F8														1									
F8														1									
F8														1									
F8														1									
F8														1									
F8														1									
F8														1									
F8														1									
F8														1									
F8														1									
F8														1									
F8														1									
F8														1									
F8														1									
F8														1									
F8														1									
F8														1									
F8														1									
F8														1									
F8														1									
F8														1									
F8														1									
F8														1									
F8														1									
F8														1									
F8														1									
F8														1									
F8														1									
F8														1									
F8														1									
F8														1									
F8														1									
F8														1									
F8														1									
F8														1									
F8														1									
F8														1									
F8														1									
F8														1									
F8														1									
F8														1									
F8														1									
F8														1									
F8														1									
F8														1									
F8														1									
F8														1									
F8														1									
F8														1									
F8														1									
F8														1									
F8														1									
F8														1									
F8														1									
F8														1									
F8														1									
F8														1									
F8														1									
F8														1									
F8														1									
F8														1									
F8														1									
F8														1									
F8														1									
F8														1									
F8														1									
F8														1									
F8														1									
F8														1									
F8														1									
F8														1									
F8														1									
F8														1									
F8														1									
F8														1									
F8														1									
F8														1									
F8														1									
F8														1									
F8														1									
F8														1									
F8														1									
F8														1									
F8														1									
F8														1									
F8														1									
F8														1									
F8														1									
F8														1									
F8														1									
F8														1									
F8														1									
F8														1									
F8														1									
F8														1									
F8														1									
F8														1									
F8														1									
F8														1									
F8														1									
F8														1									
F8														1									
F8														1									
F8														1									
F8														1									
F8														1									
F8														1									
F8														1									
F8														1									
F8														1									
F8														1									
F8														1									
F8														1									
F8														1									
F8														1									
F8														1									
F8														1									
F8														1									
F8														1									
F8														1									
F8														1									
F8														1									
F8														1									
F8														1									
F8														1									
F8														1									
F8														1									
F8														1									
F8														1									
F8														1									
F8														1									
F8														1									
F8														1									
F8														1									
F8														1									
F8														1									
F8														1									
F8														1									
F8														1									
F8														1									
F8														1									
F8														1									
F8														1									
F8														1									
F8														1									
F8														1									
F8														1									
F8														1									
F8														1									
F8														1									
F8														1									
F8														1									
F8														1									
F8														1									
F8														1									
F8														1									
F8														1									
F8														1									
F8														1									
F8														1									
F8														1									
F8														1									
F8														1									
F8														1									
F8														1									
F8														1									
F8														1									
F8														1									
F8														1									
F8														1									
F8														1									
F8														1									
F8														1									
F8														1									
F8														1									
F8														1									
F8														1									
F8														1									
F8														1									
F8														1									
F8														1									
F8														1									
F8														1									
F8														1									
F8														1									
F8														1									
F8														1									
F8														1									
F8														1									
F8														1									
F8														1									
F8														1									
F8														1									
F8														1									

Inženýrskogeologická dokumentace

Objekt J22									
Souřadnice		X : 1147255.34		Y : 606666.26		Nadmořská výška		280.14	
Lokalita		Čebín obchvat		Mapa 1:25.000		24-321		11	
POPISNÁ DATA									
Datum zahájení vrtání		16.2.2016		Datum ukončení vrtání		16.2.2016		Vrtná souprava	
								Vrtná technologie	
								Jádrově nasucho	
								P. Daněk	
PODZEMNÍ VODA									

Inženýrskogeologická dokumentace

Geostár spol. s r.o. Tuřanka 111, 627 00 Brno										Inženýrskogeologická dokumentace										Objekt HP24																																																																																																																																																																																																																																																																																																																																																																																																																																																																																																																																																																																																																																																																																																																																																																																																																																																																																																																																																																																																																																																																																																																																																																																																																																																																																																																																																																																																																																																																																																																																																																																																																																																																																																																																																																																																																																																																																																																																																																																																																																																																																																																																																																																																																																																																																																																																																																																																																																																																																																																																																																																																																																																																																																																																																																																																																																																																																																																																																																																																																																																																																																																																																																																																																																																																																																																																																																																																																																																																																																																													
Geologický profil										Popis polohy										Souřadnice X : 1147155.04 Y : 606809.44 Nadmořská výška : 281.43 Lokalita : Čebín obchvat Mapa 1:25.000 24-321																																																																																																																																																																																																																																																																																																																																																																																																																																																																																																																																																																																																																																																																																																																																																																																																																																																																																																																																																																																																																																																																																																																																																																																																																																																																																																																																																																																																																																																																																																																																																																																																																																																																																																																																																																																																																																																																																																																																																																																																																																																																																																																																																																																																																																																																																																																																																																																																																																																																																																																																																																																																																																																																																																																																																																																																																																																																																																																																																																																																																																																																																																																																																																																																																																																																																																																																																																																																																																																																																																																													
Hloubka [m]										KONZST										Ulehlost										14688										GTYP										14689										736133										TEZIT										NASYPY										PODLOZ										SCHEIB																																																																																																																																																																																																																																																																																																																																																																																																																																																																																																																																																																																																																																																																																																																																																																																																																																																																																																																																																																																																																																																																																																																																																																																																																																																																																																																																																																																																																																																																																																																																																																																																																																																																																																																																																																																																																																																																																																																																																																																																																																																																																																																																																																																																																																																																																																																																																																																																																																																																																																																																																																																																																																																																																																																																																																																																																																																																																																																																																																																																																																																																																																																																																																																																																																																																																																																																																																																																																																													
Stratigrafie										Odběr vzorku										5										6										7										8										9										10										11																																																																																																																																																																																																																																																																																																																																																																																																																																																																																																																																																																																																																																																																																																																																																																																																																																																																																																																																																																																																																																																																																																																																																																																																																																																																																																																																																																																																																																																																																																																																																																																																																																																																																																																																																																																																																																																																																																																																																																																																																																																																																																																																																																																																																																																																																																																																																																																																																																																																																																																																																																																																																																																																																																																																																																																																																																																																																																																																																																																																																																																																																																																																																																																																																																																																																																																																																																																																																																																																	
2										4										0.00-0.30 : omice, hlína jílovitá, tmavěhnědá																				1.1																				1																																																																																																																																																																																																																																																																																																																																																																																																																																																																																																																																																																																																																																																																																																																																																																																																																																																																																																																																																																																																																																																																																																																																																																																																																																																																																																																																																																																																																																																																																																																																																																																																																																																																																																																																																																																																																																																																																																																																																																																																																																																																																																																																																																																																																																																																																																																																																																																																																																																																																																																																																																																																																																																																																																																																																																																																																																																																																																																																																																																																																																																																																																																																																																																																																																																																																																																																																																																																																																																																																					
S126										P										0.30-1.25 : jíli prachovitý, plastický, hnědý, rezavěhnědý, 160 kPa										tuh-pev										Cl										3.3										F6 Cl										1										podm.vh.										nevh.										VN-NN																																																																																																																																																																																																																																																																																																																																																																																																																																																																																																																																																																																																																																																																																																																																																																																																																																																																																																																																																																																																																																																																																																																																																																																																																																																																																																																																																																																																																																																																																																																																																																																																																																																																																																																																																																																																																																																																																																																																																																																																																																																																																																																																																																																																																																																																																																																																																																																																																																																																																																																																																																																																																																																																																																																																																																																																																																																																																																																																																																																																																																																																																																																																																																																																																																																																																																																																																																																																																																													
S112										1.00																																																																																																																																																																																																																																																																																																																																																																																																																																																																																																																																																																																																																																																																																																																																																																																																																																																																																																																																																																																																																																																																																																																																																																																																																																																																																																																																																																																																																																																																																																																																																																																																																																																																																																																																																																																																																																																																																																																																																																																																																																																																																																																																																																																																																																																																																																																																																																																																																																																																																																																																																																																																																																																																																																																																																																																																																																																																																																																																																																																																																																																																																																																																																																																																																																																																																																																																																																																																																																																																																																																																							
S18										T										1.25-2.00 : spraš žlutohnědá, váp. žilky, do 120 kPa										tuh-pev										siCl										2.1										F6										1										podm.vh										nevh.										VN-NN																																																																																																																																																																																																																																																																																																																																																																																																																																																																																																																																																																																																																																																																																																																																																																																																																																																																																																																																																																																																																																																																																																																																																																																																																																																																																																																																																																																																																																																																																																																																																																																																																																																																																																																																																																																																																																																																																																																																																																																																																																																																																																																																																																																																																																																																																																																																																																																																																																																																																																																																																																																																																																																																																																																																																																																																																																																																																																																																																																																																																																																																																																																																																																																																																																																																																																																																																																																																																																													
S19										N										2.00-4.40 : ditto, 40 kPa																																																																																																																																																																																																																																																																																																																																																																																																																																																																																																																																																																																																																																																																																																																																																																																																																																																																																																																																																																																																																																																																																																																																																																																																																																																																																																																																																																																																																																																																																																																																																																																																																																																																																																																																																																																																																																																																																																																																																																																																																																																																																																																																																																																																																																																																																																																																																																																																																																																																																																																																																																																																																																																																																																																																																																																																																																																																																																																																																																																																																																																																																																																																																																																																																																																																																																																																																																																																																																																																																																																													
S21										N+P										4.40-6.00 : sprašová hlína, prohnětená s hnědou humóznější spr. hl., 100 - 140 kPa										tuhá										Cl										2.2										F6 Cl										1										podm.vh										nevh.										VN-NN																																																																																																																																																																																																																																																																																																																																																																																																																																																																																																																																																																																																																																																																																																																																																																																																																																																																																																																																																																																																																																																																																																																																																																																																																																																																																																																																																																																																																																																																																																																																																																																																																																																																																																																																																																																																																																																																																																																																																																																																																																																																																																																																																																																																																																																																																																																																																																																																																																																																																																																																																																																																																																																																																																																																																																																																																																																																																																																																																																																																																																																																																																																																																																																																																																																																																																																																																																																																																																													
C12										6.00										6.00-6.40 : ditto, 220 kPa										tuh-pev										Cl										2.2										F6										1										podm.vh										nevh.										VN-NN																																																																																																																																																																																																																																																																																																																																																																																																																																																																																																																																																																																																																																																																																																																																																																																																																																																																																																																																																																																																																																																																																																																																																																																																																																																																																																																																																																																																																																																																																																																																																																																																																																																																																																																																																																																																																																																																																																																																																																																																																																																																																																																																																																																																																																																																																																																																																																																																																																																																																																																																																																																																																																																																																																																																																																																																																																																																																																																																																																																																																																																																																																																																																																																																																																																																																																																																																																																																																																													
C11																				6.40-6.80 : jíli prachovitý, béžový, žlutohnědý a hnědá hlína, prohnětený!!										tuh-pev										Cl										4.1										F8										1										nevh.										VN																																																																																																																																																																																																																																																																																																																																																																																																																																																																																																																																																																																																																																																																																																																																																																																																																																																																																																																																																																																																																																																																																																																																																																																																																																																																																																																																																																																																																																																																																																																																																																																																																																																																																																																																																																																																																																																																																																																																																																																																																																																																																																																																																																																																																																																																																																																																																																																																																																																																																																																																																																																																																																																																																																																																																																																																																																																																																																																																																																																																																																																																																																																																																																																																																																																																																																																																																																																																																																																							
																				6.80-7.35 : jíli prachovitý, béžový a šed, váp. konkrece										pevná										Cl										4.1										F8										1										nevh.										VN																																																																																																																																																																																																																																																																																																																																																																																																																																																																																																																																																																																																																																																																																																																																																																																																																																																																																																																																																																																																																																																																																																																																																																																																																																																																																																																																																																																																																																																																																																																																																																																																																																																																																																																																																																																																																																																																																																																																																																																																																																																																																																																																																																																																																																																																																																																																																																																																																																																																																																																																																																																																																																																																																																																																																																																																																																																																																																																																																																																																																																																																																																																																																																																																																																																																																																																																																																																																																																																							
																				7.35-9.00 : ditto, bez konkrecí, 400 kPa										pevná										Cl										4.2										F8										1										nevh.										VN																																																																																																																																																																																																																																																																																																																																																																																																																																																																																																																																																																																																																																																																																																																																																																																																																																																																																																																																																																																																																																																																																																																																																																																																																																																																																																																																																																																																																																																																																																																																																																																																																																																																																																																																																																																																																																																																																																																																																																																																																																																																																																																																																																																																																																																																																																																																																																																																																																																																																																																																																																																																																																																																																																																																																																																																																																																																																																																																																																																																																																																																																																																																																																																																																																																																																																																																																																																																																																																							

Inženýrskogeologická dokumentace

Souřadnice X : 1147033.00 Y : 606896.49 Nadmořská výška : 274.16 Lokalita Čebín obchvat Mapa 1:25.000 24-321									
11									
POPISNÁ DATA									
Datum zahájení vrtání 16.2.2016 Datum ukončení vrtání 16.2.2016 Vrtná souprava UGB Vrtná technologie Jméno vrtníka jádrově nasucho P.Daněk									
PODZEMNÍ VODA									
Hladina podzemní vody dosud nespecifikována									
Poznámka									

Inženýrskogeologická dokumentace

Geostár spol. s r.o. Tuřanka 111, 627 00 Brno										Inženýrskogeologická dokumentace										Objekt J31 Souřadnice X : 1146641.75 Y : 607013.70 Nadmořská výška : 267.68 Lokalita Čebín obchvat Mapa 1:25.000 24-321																																																																																																																																																																																																																																																																																																																																																																																																																																																																																																																																																																																																																																																																																																																																																																																																																																																																																																																																																																																																																																																																																																																																																																																																																																																																																																																																																																																																																																																																																																																																																																																																																																																																																																																																																																																																																																																																																																																																																																																																																																																																																																																																																																																																																																																																																																																																																																																																																																																																																																																																																																																																																																																																																																																																																																																																																																																																																																																																																																																																																																																																																																																																																																																																																																																																																																																																																																																																																																																																																																																																																																																																																																																																																																																																																																																																																																																																																																																																																																																																																																																																																																																																																																																																																																																																																																																																																																																																																																																																																																																																																																																																																																																																																																																																																																																																																																																																																																																																																																																																																																																																																																																																																																																																																																																																																																																																																																																																																																																																																																																																																																																																																																																																																																																																																																																																																															
Geologický profil										Stratigrafie										Odběry vzorků																																																																																																																																																																																																																																																																																																																																																																																																																																																																																																																																																																																																																																																																																																																																																																																																																																																																																																																																																																																																																																																																																																																																																																																																																																																																																																																																																																																																																																																																																																																																																																																																																																																																																																																																																																																																																																																																																																																																																																																																																																																																																																																																																																																																																																																																																																																																																																																																																																																																																																																																																																																																																																																																																																																																																																																																																																																																																																																																																																																																																																																																																																																																																																																																																																																																																																																																																																																																																																																																																																																																																																																																																																																																																																																																																																																																																																																																																																																																																																																																																																																																																																																																																																																																																																																																																																																																																																																																																																																																																																																																																																																																																																																																																																																																																																																																																																																																																																																																																																																																																																																																																																																																																																																																																																																																																																																																																																																																																																																																																																																																																																																																																																																																																																																																																																																																																															
1										2										3										4										5										6										7										8										9										10										11																																																																																																																																																																																																																																																																																																																																																																																																																																																																																																																																																																																																																																																																																																																																																																																																																																																																																																																																																																																																																																																																																																																																																																																																																																																																																																																																																																																																																																																																																																																																																																																																																																																																																																																																																																																																																																																																																																																																																																																																																																																																																																																																																																																																																																																																																																																																																																																																																																																																																																																																																																																																																																																																																																																																																																																																																																																																																																																																																																																																																																																																																																																																																																																																																																																																																																																																																																																																																																																																																																																																																																																																																																																																																																																																																																																																																																																																																																																																																																																																																																																																																																																																																																																																																																																																																																																																																																																																																																																																																																																																																																																																																																																																																																																																																																																																																																																																																																																																																																																																																																																																																																																																																																																																																																																																																																																																																																																																																																																																																																																																																																																																																																																																																																																																															
[m]										s26										s12										s18																																																																																																																																																																																																																																																																																																																																																																																																																																																																																																																																																																																																																																																																																																																																																																																																																																																																																																																																																																																																																																																																																																																																																																																																																																																																																																																																																																																																																																																																																																																																																																																																																																																																																																																																																																																																																																																																																																																																																																																																																																																																																																																																																																																																																																																																																																																																																																																																																																																																																																																																																																																																																																																																																																																																																																																																																																																																																																																																																																																																																																																																																																																																																																																																																																																																																																																																																																																																																																																																																																																																																																																																																																																																																																																																																																																																																																																																																																																																																																																																																																																																																																																																																																																																																																																																																																																																																																																																																																																																																																																																																																																																																																																																																																																																																																																																																																																																																																																																																																																																																																																																																																																																																																																																																																																																																																																																																																																																																																																																																																																																																																																																																																																																																																																																																																																																																					

Inženýrskogeologická dokumentace

Souřadnice X : 1146545.57 Y : 607038.05 Nadmořská výška : 267.17 Lokalita Čebín obchvat Mapa 1:25.000 24-321														
POPISNÁ DATA														
Datum zahájení vrtání 16.2.2016														
Datum ukončení vrtání 16.2.2016														
Vrtná souprava UGB														
Vrtná technologie jádrové nasucho P.Daněk														
Jméno vrtnístra														
PODZEMNÍ VODA														
Hladina podzemní vody dosud nespecifikována														
Poznámka														

Inženýrskogeologická dokumentace

Inženýrskogeologická dokumentace															Objekt
Popis polohy															J36
Geologický profil															Souřadnice X : 1146157.05 Y : 607136.45
Stratigrafie															Nadmořská výška : 261.82
Odběry vzorků															Lokalita Čebín obchvat
Hloubka [m]															Mapa 1:25.000 24-321
1	2	3	4	5	6	7	8	9	10						11
				0.00-0.50 : omice, hlína jílovitá, tmavěhnědá											
				0.50-1.20 : jíli prachovitý, žlutohnědý, 100 -160 kPa											
				1.20-3.00 : jíli béžově-žluto-hnědo-šedý, vápnitý, 300 kPa											
				3.00-4.00 : jíli plastický, rez. hnědý, šedý											

Inženýrské geologická dokumentace

Objekt	
--------	--

J40

Souřadnice

X : 1145941 89

)
)
)
)
)
)
)

Y : 607190.90

Nadmořská

255.60

Lokalita

24-321

11

POPISNÁ DATA

Vrtná technologie

jádrové nasucho

PODZEMNÍ VODA

.....

Hladina podzemní vody

Poznámka

Měřítka

1.50

ID OBJ

40

Projekt

G01016

Zpracoval

Mgr. P. Mazáč

Datum

10.5.2016

Prilona

Inženýrskogeologická dokumentace

Geostár spol. s r.o. Tuřanka 111, 627 00 Brno										Inženýrskogeologická dokumentace										Objekt HP43									
Souřadnice X : 1145736.07 Y : 607273.72 Nadmořská výška 252.70 Lokalita Čebín obchvat Mapa 1:25.000 24-321																													
11																													
POPISNÁ DATA																													
Datum zahájení vrtání 15.3.2016 Datum ukončení vrtání Vrtná souprava HVS Vrtná technologie jádrové nasucho Jméno vrtmistra P.Friák																													
PODZEMNÍ VODA																													
Ustálená hladina 1.00 m Datum zjištění 16.3.2016 1. naražená hladina 3.30 m																													
Poznámka																													

Inženýrskogeologická dokumentace

Objekt

J45

Souřadnice X : 1145576.36
Y : 607321.89
Nadmořská výška : 252.01
Lokalita Čebín obchvat
Mapa 1:25.000 24-321

11

POPISNÁ DATA

Datum zahájení vrtání	18.3.2016
Datum ukončení vrtání	

18.3.2016	Grillino
Vrtná souprava	

Vrtná technologie
jádrově nasucho

PODZEMNÍ VODA

Ustálená hladina	0.75 m
Datum zjištění	18.3.2016

Poznámka

Měřitko	1 : 50
ID_OBJ	45
Projekt	G01016
Zpracoval	Mgr. P. Mazáč
Datum	10.5.2016
Příloha	

Inženýrskogeologická dokumentace

Inženýrskogeologická dokumentace									
Objekt									
J47									
Souřadnice		X : 1145413.99		Y : 607432.66		Nadmořská výška		252.44	
Lokalita		Čebín obchvat		Mapa 1:25.000		24-321		11	
POPISNÁ DATA									
Datum zahájení vrtání		18.3.2016		Datum ukončení vrtání		18.3.2016		Vrtná souprava	
Vrtná technologie		Grillino		Vrtná souprava		jádrově nasucho		Jméno vrtmistra	
J. Vobora		PODZEMNÍ VODA		Ustálená hladina		1.15 m		Datum zjištění	
1. naražená hladina		18.3.2016		1. naražená hladina		1.60 m		Poznámka	

GEOSTAR spol. s r.o. Tuřanka 111, 627 00 Brno																
Inženýrskogeologická dokumentace																
Hlubka [m]	Geologický profil	Stratigrafie	Odběry vzorků	Popis polohy		KONZST	Ulehlost	14688	GTYP	14689	736133	TEZIT	NASYPY	PODLOZ	SCHIEIB	
				5	6	7	8	9	10	11						
1	2	kvartér	P 0.50 0.60	0.00-0.25 : ornice, hlína jílovitá, tmavě hnědá				1.1				1				
	S126			0.25-0.80 : spraš žlutohnědá, vrstevnatá, šedo hnědá, s váp. cívavý, 140 kPa												
1	S118			0.80-2.20 : jíli prachovitý, slabě písčité, hnědavý až šedo hnědavý, vápnitý, žlutohnědý písek na vrstv. plochách		tuh-pev	sasiCl	2.3	F4 CS	1	podm.vh.	podm.vh.	NN			
2	S114	neogén				tuh-pev		sasiCl	2.3		F4	1	podm.vh.	podm.vh.	NN	
3	C111			2.20-3.00 : jíli šedý, béžový		pevná	Cl	4.2	F8	1	nevh.	nevh.	VN			
4																
5																
6																
7																
<div><div>Objekt</div><div>J48</div><div><div><div>Souřadnice</div><div>X : 1145316.00</div><div>Y : 607473.12</div><div>Z : 255.38</div></div><div><div>Nadmořská výška</div><div>255.38</div><div>Cebín obchvat</div><div>24-321</div></div><div><div>Lokalita</div><div>Mapa 1:25.000</div></div></div><div><div>POPISNÁ DATA</div><div><div>Datum zahájení vrtání</div><div>17.2.2016</div></div><div><div>Datum ukončení vrtání</div><div>17.2.2016</div></div><div><div>Vrtná souprava</div><div>UGB</div></div><div><div>Vrtná technologie</div><div>jádrové nasucho</div></div><div><div>Jméno vrtmistra</div><div>P.Daněš</div></div><div><div>PODZEMNÍ VODA</div><div><div>Hladina podzemní vody</div><div>dosud nespecifikována</div></div></div><div><div>Poznámka</div></div></div><div><div>Měřítko</div><div>1 : 50</div><div>ID_OBJ</div><div>48</div><div>Projekt</div><div>G01016</div><div>Zpracoval</div><div>Mgr.P.Mazáč</div><div>Datum</div><div>10.5.2016</div><div>Příloha</div></div></div>																

Inženýrské geologická dokumentace

Objekt

J49

Souřadnice

X : 1145283.77

1

Y : 607541.03

Nadmořská

výška	255.35
-------	--------

Lokalita

Cebin obchvat

11

POPISNÁ DATA

Datum zahájení vrtání	17.2.2016
-----------------------	-----------

Datum ukončení vrtání

17.2.2016

Vrtná souprava
Vrtná technologie
UGB

virtuální technologie
jádrově nasucho

Jméno vrtmistra	P. Daněš
-----------------	----------

PODZEMNÍ VODA

Hladina podzemní vody

dosud nespecifikována

Poznámka

Měřitko

ID_OBJ

Projekt

Zpracováno
Datum

Příloha

500

1:50

49

G01016

Mgr. P. Mazáč
10.5.2016

0107°C.01